

## ПОИСК КУМУЛЯТИВНЫХ $\Delta^0$ (1232) И $\Delta^{++}$ (1232) ИЗОБАР В НЕЙТРИННЫХ ВЗАИМОДЕЙСТВИЯХ С ЯДРОМ НЕОНА

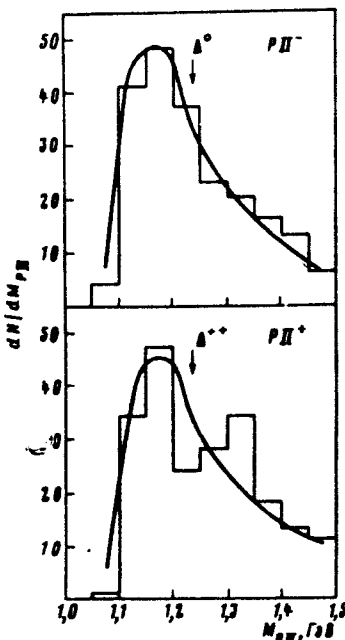
В.В.Аммосов, А.Э.Асратян<sup>1)</sup>, В.С.Буртовой, В.А.Гапиенко, Г.С.Гапиенко,  
П.А.Горичев<sup>1)</sup>, А.Г.Денисов, В.Г.Заец, В.И.Клюхин, В.И.Корешев, С.П.Кручинин<sup>1)</sup>,  
М.А.Кубанцев<sup>1)</sup>, И.В.Махлюева<sup>1)</sup>, П.В.Питухин, В.И.Сиротенко, Е.А.Слободюк,  
З.У.Усубов, А.В.Федотов<sup>1)</sup>, В.Г.Шевченко<sup>1)</sup>, В.И.Шекелян<sup>1)</sup>

На основе ~ 5100 нейтринных взаимодействий с ядром неона, полученных при помощи 15-футовой пузырьковой камеры ФНАЛ, на 90%-ном уровне достоверности найдены верхние пределы выходов кумулятивных  $\Delta^0$  и  $\Delta^{++}$  частиц – 1,1% и 0,4% соответственно. Сделан вывод о невозможности объяснения "EMC-эффекта" в рамках "изобарной" модели.

---

<sup>1)</sup> Институт теоретической и экспериментальной физики, Москва.

Различие в структурных функциях связанных в ядре и свободных нуклонов, впервые наблюденное EMC-группой<sup>1</sup> и называемое поэтому EMC-эффектом, можно объяснить двумя способами: либо под действием ядерных сил происходит изменение свойств нуклонов, либо внутри ядра присутствуют отличные от нуклонов частицы. Обзор основных теоретических моделей, претендующих на описание EMC-эффекта, можно найти в<sup>2</sup>. В работе<sup>3</sup> было сделано предположение, что структурная функция  $\Delta$  изобары с ростом бъеркиновской переменной  $x$  уменьшается по крайней мере в  $(1 - x)$  раз быстрее, чем структурные функции протона и нейтрона, и тогда разницу структурных функций, извлекаемых из рассеяния на ядре и на свободном нуклоне, можно рассматривать как результат присутствия  $\Delta$  частиц внутри ядра. Поскольку в глубоконеупругом мюон (электрон)-ядерном рассеянии при значениях  $x$  близких к единице основной вклад дают взаимодействия с протоном, то автору работы<sup>3</sup> оказалось достаточным перевести 20 – 30% протонов (10 – 15% от общего числа нуклонов ядра) в  $\Delta$  состояния, чтобы получить согласие с экспериментом. Более логично, однако, думать, что нейтроны ядра также как и протоны участвуют в образовании  $\Delta$  компоненты, поэтому для объяснения EMC-эффекта примесь  $\Delta$  частиц должна составлять 20 – 30%.



Распределение по массе  $p\pi^-$  и  $p\pi^+$  пар, имеющих направление импульса назад в ЛСИ. Кривые описывают распределения для  $p\pi$ -комбинаций, составленных из частиц из разных взаимодействий

Но, если существование  $\Delta$ -изобар в ядре предсказывается в таких больших количествах, есть смысл попытаться обнаружить их среди, так называемых, кумулятивных частиц. Ни в одной из теоретических схем<sup>4–7</sup>, призванных объяснить процесс испускания ядром протонов назад в лабораторной системе измерения (ЛСИ), не видно причин, по которым бы и  $\Delta$ -частицы, если они есть в ядрах, не вылетали бы в кинематически запрещенную область наравне с обычными нуклонами.

В этой работе описана первая попытка зарегистрировать сигнал от распадов кумулятивных  $\Delta^0$  (1232) и  $\Delta^{++}$  (1232) изобар. Для анализа использовались 4060 антинейтринных и 1050 нейтринных взаимодействий заряженного тока с ядром неона при энергии  $E = 10 - 200$  ГэВ, квадрате переданного лептонного четырех-импульса  $Q^2 > 1$  ГэВ<sup>2</sup> и инвариантной адронной массе  $W > 2$  ГэВ. Протонные треки измерялись, начиная с импульса 300 МэВ/с, идентифицировались по пробегу до 1 ГэВ/с. Все оставшиеся после выделения протонов зараженные адроны рассматривались как  $\pi$ -мезоны. Подробнее описание деталей эксперимента, проведенного с помощью 15-футовой пузырьковой камеры ФНАЛ, можно найти, например, в<sup>9</sup>.

Всего было найдено 223  $r\pi^-$ -пары и 255  $r\pi^+$ -пар с направлением суммарного импульса, составляющим с направлением нейтрино в ЛСИ угол более  $90^\circ$ . Брались лишь  $r\pi$ -комбинации с импульсом менее 1 ГэВ/с, так как выше 1 ГэВ/с резко падает эффективность идентификации протона, рожденного в распаде  $\Delta \rightarrow r\pi$ . Распределения отобранных пар по эффективной массе раздельно для  $r\pi^-$  и для  $r\pi^+$  приведены на рис. 1. Разрешение по массе в области  $\Delta$  (1232) равно  $\sim 30$  МэВ. Гладкие кривые на рисунке описывают поведение нерезонансного фона, они представляют собой спектры масс для комбинаций, составленных из протона и мезона, относящихся к разным взаимодействиям. Кривые хорошо описывают экспериментальные спектры и нет сколько-нибудь заметных сигналов от ожидаемых распадов.

Из приведенных распределений были найдены на 90%-ном уровне достоверности следующие ограничения сверху на рождение назад с импульсом 0 – 1 ГэВ/с кумулятивных  $\Delta^0$  и  $\Delta^{++}$ -частиц – 1,1% и 0,4% соответственно. В верхних пределах учтены обрезания по импульсу и эффективность идентификации протонов, потери, возникающие при измерении мягких  $\pi$ -мезонных треков. Для  $\Delta^0$ , кроме того, введена поправка на нерегистрируемую моду распада  $\Delta^0 \rightarrow n\pi^0$ . Пределы получены в пренебрежении возможными вкладами высших по массе  $\Delta$  и  $N^*$  резонансов.

Ранее<sup>8</sup> нами было установлено, что  $\sim 10\%$  всех взаимодействий заряженного тока как в  $\bar{\nu}_\mu$  Ne, так и в  $\nu_\mu$  Ne рассеяний имеют протон вылетевший из ядра в ЛСИ в заднюю по отношению к направлению нейтрино полусферу. Если кумулятивный механизм с одинаковой эффективностью выбивает из ядра протоны и  $\Delta$ -изобары, а разные зарядовые состояния  $\Delta^{++}$ ,  $\Delta^+$ ,  $\Delta^0$  и  $\Delta^-$  представлены в ядре в равных количествах, то сравнение полученного здесь ограничения на выход  $\Delta^{++}$  с выходом назад протонов говорит о том, что суммарная примесь  $\Delta$ -частиц внутри ядра не превышает 8%. Последняя величина меньше требуемого для описания EMC-эффекта значения 20 – 30%, следовательно этот эффект не может быть, по-видимому, объяснен лишь за счет перехода части нуклонов в  $\Delta$ -состояния.

Авторы благодарят М.И.Стрикмана, инициировавшего появление данной работы, и С.Р. Слабосицкого – за полезные обсуждения.

#### Литература

1. *Aubert J.J. et al.* Phys. Lett., 1983, **123B**, 275.
2. *Rith K.* Proc. of the Int. Europhysics Conf. on High Energy Physics, Brighton, July 1983, p. 80.
3. *Szwed J.* Phys. Lett., 1983, **128B**, 245.
4. *Amado R.O., Woloshyn R.M.* Phys. Rev. Lett., 1976, **36**, 1435.
5. *Blankenbecker R., Schmidt I.* Phys. Rev., 1977, **D15**, 3321.
6. *Frankel S.* Phys. Lett., 1977, **38**, 1338.
7. *Frankfurt L.L., Strikman M.I.* Phys. Rep., 1981, **76C**, 215.
8. *Efremenko V.I. et al.* Phys. Rev., 1980, **D22**, 2581.
9. *Ammosov V.V. et al.* Nucl. Phys., 1981, **B177**, 365.

Поступила в редакцию

30 марта 1984 г.

После переработки

27 июня 1984 г.